S I C E

مجله کنتول ISSN 2008-8345 جلد ع، شماره ۲، تابستان ۱۳۹۱، صفحه ۲۳–۲۳



سینماتیک وارون ربات بازوی ۷ درجه آزادی تحت محدودیتهای موقعیت مفاصل و مانع در فضای کاری ربات با استفاده از شبکه عصبی-فازی و روش برنامهریزی مرتبه دو

حميد توشني ، محمد فرخي ٢

h_toshany@yahoo.com فارغالتحصيل كارشناسي ارشد مهندسي برق، گروه كنترل، دانشگاه علم و صنعت ايران، farrokhi@iust.ac.ir

^۲ دانشيار، دانشكدهٔ مهندسي برق، گروه كنترل، دانشگاه علم و صنعت ايران، farrokhi@iust.ac.ir

(تاریخ دریافت مقاله ۱۳۹۱/۱/۲۴، تاریخ پذیرش مقاله ۱۳۹۱/۴/۱۷)

چکیده: تحلیل سینماتیک وارون رباتهای بازوی سری افزونه از جمله ابزارهای ضروری در زمینههای مختلف رباتیکی مانند طراحی، تولید مسیر و کنترل این سیستمها میباشد. با توجه به این که در بسیاری از رباتهای افزونه، جواب تحلیلی برای سینماتیک وارون آنها وجود ندارد، شیوههای حل عددی نیازمند اجرا و بررسی در این زمینه میباشند. در این مقاله، از ترکیب شبکههای عصبی، سیستمهای فازی و روش برنامهریزی مرتبه دو برای تعیین متغیر مفاصل استفاده خواهدشد. براساس رویکرد پیشنهادی، هفت شبکه عصبی متناظر با هر متغیر مفصل درنظر گرفته شده و با تطبیق وزن آنها توسط روش برنامهریزی مرتبه دو، پیکربندی مناسب ربات جهت ردیابی مسیر مطلوب در فضای دکارتی تعیین می شود. از طرفی، وزن اولیه شبکهها با استفاده از سیستم فازی و براساس مجاورت مجری نهایی تا نقطه مطلوب و امکان پذیری متغیر مفاصل در گیر در معادلات قیود بازوها و تعیین بحرانی ترین بازو صورت می گیرد. به منظور برقراری قیود مسئله در روش برنامهریزی مرتبه دو، از تحقق یافتن شرایط کان –تاکر استفاده خواهد شد. ارزیابی عمکلرد روش پیشنهادی با شبیه سازی و تحلیل نتایج بر روی ربات بازوی PA-10 صورت خواهد گرفت.

کلمات کلیدی: سینماتیک وارون، ربات بازوی سری افزونه، شبکه عصبی ، روش برنامهریزی مرتبه دو، سیستم فازی، اجتناب از مانع.

Inverse Kinematics of 7 DOF Robot Manipulator under Joint Angle Limits and Obstacle in the Workspace of Robot using Neural network, Fuzzy System and Quadratic Programming Approach

Hamid Toshani, Mohammad Farrokhi

Abstract: Analysis of the inverse kinematics of redundant manipulators is one of the nesseccary tools in various robotic fields such as design, motion planning and control of these systems. Since, there is not an analytical solution for the inverse kinematics of several redundant manipulators, numerical approaches are needed to execute and investigate in this field. In this paper, combination of the neural networks, fuzzy systems and quadratic programming is used to obtain the joint variables. According to the proposed approach, seven neural networks are considered according to the each joint variable and by adaptation of the neural network's weights, suitable configurations of the robot is determined to track a desired trajectory in the Cartesian space. Meanwhile, initial weights of the neural networks are obtained by fuzzy systems based on the vicinity of the endeffector to desired point and feasibility of the joint variables. Obstacle avoidance scheme is

performed by investigation of the conditions including choosing the joint variables that involved in the equations of the arms constraints and determination of the most critical arm. In order to establish the constraints of the problem in the quadratic programming, realization of the Kun-Tucker conditions will be used. Evaluation of the proposed approach will be carried out on the PA-10

Keywords: Inverse Kinematics, Redundant Manipulator, Neural Network, Quadratic Progarmming, Fuzzy System, Obstacle Avoidance.

manipulator by simulation and analysis of the results.

۱ - مقدمه

مسئله سینماتیک وارون به عنوان نگاشتی غیرخطی که وظیفه تعیین یبکربندی های مناسب مفاصل را در طول حرکت ربات برعهده دارد، از اهمیت بالایی در حوزههای مختلف رباتیکی برخوردار است. با توجه به این که این نگاشت بسته به ساختار طراحی شده برای ربات بازو ممکن است دارای جوابی به فرم بسته نباشد (مانند رباتهای افزونه) و چالشهای متفاوتی در ارتباط با آن وجود دارد، تحقیقات وسیعی در این زمینه و با توجه با اهداف تعریفشده برای آن صورت گرفتهاست. دستهای از تحقیقات بر روی رباتهایی که جوابی به فرم بسته دارند تاكيددارند و دسته وسيعي نيز روى تعيين جواب تقريبي براي سينماتيك وارون با استفاده از روشهای عددی متمرکز شدهاند.

به طور معمول، برای مواجهه با قیود، ربات های افزونه مورداستفاده قرار می گیرند. این رباتها، از مهارت و چابکی ابیشتری نسبت به ربات-های غیرافزونه برخوردار هستند. درواقع، در آنها تعداد درجههای آزادی از تعداد درجههای آزادی (عملگرهای) موردنیاز برای تعیین موقعیت و جهت مطلوب مجری نهایی بیشتر می باشد. با استفاده از ویژگی افزونگی می توان علاوه بر وظیفه اولیه ربات که بهطور معمول ردیابی مسير مطلوب مي باشد، اهداف ثانويه يا قيود مسئله را نيز برآورده نمود. از جمله مهمترین قیود سینماتیک وارون عبارتند از: اجتناب از محدودیتهای فیزیکی مفاصل، اجتناب از موانع، اجتناب از تکینگی، حداقل انرژی مفاصل، بهینهسازی گشتاور مفاصل و تکراریذیری حرکت مفاصل. از آنجایی که حل مسئله سینماتیک وارون رباتهای بازوهای افزونه مي تواند به بي نهايت جواب منجرشود، يافتن جواب به فرم بسته امکان پذیر نیست. بنابراین، برای این رباتها، صرفاً باید از روشهای عددي استفاده کرد.

از جمله مهمترین و پرکاربردترین روشهای ارائهشده در حوزه سینماتیک وارون، روشهای مبتنی بر وارون ماتریس ژاکوبی هستند. این رويكردها تقريبي مرتبه اول از نگاشت غيرخطي سينماتيك وارون هستند و از ارتباط بین سرعت مجری نهایی و سرعت مفاصل که توسط وارون ماتریس ژاکوبی صورت می گیرد، استفاده می کنند. در مرجع [۱] ماتریس

تطبيق موقعيت مفاصل براساس تابع لياپانوف طراحي شده و از اطلاعات ژاکوبی و ترانهاده آن در هر لحظه استفاده می شود. همچنین، به منظور اجتناب از مانع، از فرم توسعه یافته ژاکوبی استفاده شده که علاوه بر ژاکوبی، عبارتی که معرف تصویر تابع هزینه به فضای پوچ ژاکوبی است، اضافه شدهاست. روش ارایهشده در این مقاله سادهبوده لیکن محاسبه ماتریس تطبیق از بار محاسباتی بالایی برخوردار بوده و در هر لحظه نیاز به محاسبه ژاکوبی و ترانهاده آن دارد. در مرجع [۲] از شبهوارون ژاکوبی بههمراه برنامه اجتناب از مانع استفاده شدهاست. جهت اجتناب از مانع، فرم توسعه یافتهای از شبهوارون ژاکوبی ارایهشده که بخشی از آن معرف حداقل خطای دکارتی و بخشی دیگر معرف تجزیه افزونگی است که خود حرکت 7 ربات را توصیف می کند. به طور مشابه، در مرجع [7] با استفاده از این رویکرد و در قالب حلقهبسته و با فیدبک گرفتن از خطای دكارتي، سينماتيك وارون رباتي با هفت درجه آزادي تحت محدوديت-های فیزیکی مفاصل حل شدهاست. رویکردهای پیشنهادی در نزدیکی نواحی تکین دارای مشکلات ناپایداری عددی میباشند. با توجه به نتایج ارائه شده، زمان اجرای محاسبات بالا بوده و برای کاربردهای سریع مناسب نمى باشد.

در مرجع [۴] از شبهوارون ژاکوبی در سطح شتاب استفاده شده و با فرض معلومنبودن مسیر مطلوب و با تعریف مفهومی به نام زمان مجازی، مسیر حرکت ربات اصلاح شدهاست. در این روش، کندنمودن حرکت ربات جهت اجتناب از محدودیت فیزیکی ربات، باعث کاهش کیفیت عملكرد روش شدهاست. در مرجع [۵] از روش حداقل مربعات ميرا به-منظور میرانمودن حرکت مفاصل در نزدیکی نواحی تکین استفاده شده-است. فاكتور ميرايي براساس كوچكترين مقدار تكين ماتريس ژاكوبي تعیین شده است. روش پیشنهادی از نایایداری عددی جلوگیری می کند. لیکن، محاسبه فاکتور میرایی زمانبر بوده و روش را کند می کند . در مرجع [۶] برای حل سینماتیک وارون، ترکیب حداقل مربعات میرا و الگوریتم ژنتیک پیشنهاد شدهاست. در این روش، از توزیع گوسی برای فاکتور میرایی و از الگوریتم ژنتیک برای بهینهسازی پارامترهای توزیع مذكور استفاده شدهاست. با توجه به فرايند بهينهسازي قطع خطء، كاربرد

² redundancy resolution

³ self motion

offline

¹ manipulability

این روش در محیطهای دینامیکی و نامنظم دشوار بوده و مستلزم درنظر گرفتن همه جوانب است.

دسته مهم دیگر روشهای حل سینماتیک وارون، روشهای مبتنی بر گرادیان تابع هزینه هستند که جوابی تقریبی را در قالب فرایندی تکراری بهدست می آورند. در مرجع [۷] از روش نیوتن-رافسون برای حل سینماتیک وارون رباتهای افزونه و غیرافزونه استفاده شدهاست. روش پیشنهادی به شرایط اولیه حساس بوده و بار محاسباتی بالایی دارد. در مرجع [۸] برای تعیین جواب سینماتیک وارون ربات شش درجه آزادی، روشهایی چون شبهنیوتن، حداقل مربعات میرا و روش خطیسازی با تصحیح تغییرات مفاصل مورد بررسی و مقایسه قرار گرفتهاند. در مرجع رباتهای فوقافزونه مطرح شدهاست. بر مبنای این روش، ساختار چنین رباتهای فوقافزونه مطرح شدهاست. بر مبنای این روش، ساختار چنین رباتهایی را می توان با استفاده از منحنی ای به نام منحنی استقامت و توصیف نمود. روش پیشنهادی قابلیت اعمال قیود را داشته و پیکربندی-های تکین را می تواند شناسایی کند. لیکن ساختاری وابسته به مدل دارد و حل آن پیچیده می باشد.

در مرجع [۱۰] رویکردی موسوم به نقشه راه سینماتکی مطرح شده که براساس تعریف معیاری جهت تعیین فاصله بین پیکربندی های ربات از یکدیگر عمل می کند. روش پیشنهادی، مسئله اجتناب از برخورد بازوها به یکدیگر را خطاب قرار داده است. اما جستجوی محلی برای تعیین پیکربندی بهینه، زمانبر بوده و روند آن دشوار میباشد. در مرجع [۱۱] از رویکردی تکراری برمبنای اطلاعات هندسی پیکربندی ربات استفاده شدهاست. تکنیک پیشنهادی از دو مرحله تشکیل شدهاست. در فاز اول، روندی تکراری از مجری نهایی به سمت پایه ربات صورت گرفته و در آن ابتدا، دست یابی موقعیت هدف بررسی شده و روند تکراری دیگری از پایه ربات به سمت مجری نهایی طی می شود. با ترکیب این دو فاز و پس از تکرارهای نسبتاً کوتاه، پیکربندی مناسب مفاصل تعیین میشود. مشکل اساسی این روش، ایده هندسی آن برای یافتن جواب دقیق و با اجتناب از محدودیت مفاصل است که برای رباتهایی با درجههای آزادی بالا و ساختاری پیچیده مطلوب نمیباشد. در مرجع [۱۲] روشی هندسی مطرح شده که با ثابت فرض کردن زوایای دوم به بعد و در نظر گرفتن دو زاویه مجزا در معادلات سینماتیک مستقیم، پیکربندی مناسب مفاصل تعیین میشود. روش پیشنهادی به ساختار ربات وابسته بوده و برای رباتهای پیچیده با دشواری روبر و خواهدبود.

شبکه های عصبی با توجه به محاسبات توزیع شده و موازی و قابلیت نگاشت غیرخطی و ویژگی هایی چون تطبیق پذیری با محیط، به طور گسترده ای در زمینه سینماتیک وارون مورداستفاده قرارگرفته اند. در

مرجع [۱۳] شبکه عصبی MLP برای تعیین زوایای مفاصل ربات سه درجه آزادی بههمراه اجتناب از مانع به کار گرفته شدهاست. در این روش، جزئیات عملکرد روش در مواجهه با موانع در فضای کاری بررسی نشده و اشارهای به دقت جوابهای نهایی نشدهاست. در مرجع [۱۴] از دو شبکه عصبی MLP و RBF برای ربات شش درجه آزادی استفاده شده-است. جهت آموزش قطع خط شبکه، علاوه بر موقعیت و جهت مجری نهایی، از تغییرات آنها نیز استفاده شده و خروجی شبکه، تغییرات مفاصل میباشد که با دراختیارداشتن موقعیت قبلی آنها، بهروزرسانی مفاصل میباشد که با دراختیارداشتن موقعیت قبلی آنها، بهروزرسانی مناسب است و ملاحظه قبود در آن کاری سخت و دشواری میباشد. در مرجع [۱۵] از شبکه SOM برای یافتن متغیر مفاصل ربات هفت درجه آزادی استفاده شده و برای یافتن چندین جواب سینماتیک وارون،

در مراجع [18]، [1۷] و [۱۸] از شبکه دو گان استفاده شدهاست. هدف مسئله، استفاده ترکیبی از نرم دو و بی نهایت سرعت مفاصل تحت محدودیت موقعیت و سرعت مفاصل می باشد. همچنین از این شبکه برای اجتناب از مانع استفاده شده است. ازطرفی، بهینگی جواب اصلاح شده و شرایط همگرایی نمایی نیز بررسی شده است. در نهایت، این شبکه توسعه بیشتری یافته و فرم دیگری تحتعنوان شبکه اولیه-دوگان مطرح شده است. همچنین، دو مسئله اجتناب از محدودیت مفاصل و تکرارپذیری حرکت آنها درنظر گرفته شده و شرایط لازم برای تحقق آنها فراهم شده است. شبکههای عصبی دوگان و اولیه-دوگان، ساختاری ساده دارند. شده است. شبکههای عصبی دوگان و اولیه-دوگان، ساختاری ساده دارند. تعیین می کنند. اما، این روشها به ساختار ربات وابستهاند و نیاز به محاسبه ژاکوبی و ترانهاده آن دارند. معادلات دینامیکی آنها از ترمهای غیرخطی بالایی برخوردار بوده و بار محاسبات آنها در حالت کلی بالا

در این مقاله، سینماتیک وارون ربات بازوی ۷ درجه آزادی -PA با استفاده از روش بهینه سازی مقید که از ترکیب شبکه های عصبی، سیستم های فازی و روش برنامه ریزی مرتبه دو بهره می گیرد، تعیین خواهدشد. بر اساس رویکرد پیشنهادی، هفت شبکه عصبی RBF متناظر با هر متغیر مفصل درنظر گرفته شده است. ورودی هر شبکه موقعیت مطلوب در فضای دکارتی و خروجی آن یکی از زاویه مفاصل می باشد. با تطبیق وزن شبکه های عصبی توسط روش برنامه ریزی مرتبه دو، پیکربندی مناسب ربات جهت ردیابی مسیر مطلوب در فضای دکارتی تعیین می-شود. از طرفی، وزن اولیه شبکه ها با استفاده از سیستم فازی و براساس مجاورت مجری نهایی تا نقطه مطلوب و امکان پذیری متغیر مفاصل تعیین می-مجاورت مجری نهایی تا نقطه مطلوب و امکان پذیری متغیر مفاصل تعیین

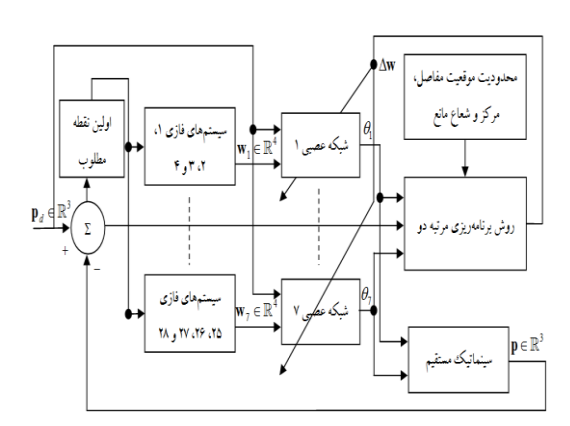
³ Multi Layer Perceptron

⁴ Self Organizing Map

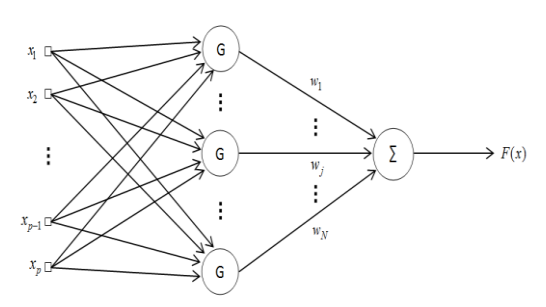
⁵ Dual network

¹ backbone

² kinematics roadmap



شکل ۱: ساختار کلی روش پیشنهادی



شكل ۲: ساختار شبكه RBF

۳- زیرسیستمهای ساختار پیشنهادی

ساختار روش پیشنهادی از سه زیرسیستم اصلی تشکیل شدهاست که عبارتند از: شبکه عصبی، روش برنامه ریزی مرتبه دو و سیستم فازی. جواب سینماتیک وارون ربات بازوی هفت درجه آزادی با ترکیب این زیرسیستم ها تعیین خواهدشد. از طرفی، حل مسئله با درنظر گرفتن محدودیت هایی چون موقعیت مفاصل و موانع در فضای کاری صورت گرفتهاست. جزئیات هر یک از زیرسیستم های مذکور در ادامه تشریح خواهدشد.

۱-۳ شبکه عصبی

شبکه عصبی مورداستفاده در ساختار پیشنهادی، شبکه تابع شعاعی پایه (RBF) می باشد که از سه لایه ورودی، پنهانی و خروجی برخوردار است. توابع فعال سازی لایه پنهانی، توابع گوسی هستند که مرکز و پهنای آنها قابل تنظیم می باشد. وزنهای لایه خروجی که ار تباط خطی بین لایه پنهانی و خروجی را فراهم می کنند، پارامترهای قابل تنظیم دیگر شبکه می باشند. باتوجه به این که روش حل مسئله به صورت بی درنگ انجام می پذیرد، پارامترهای توابع گوسی ثابت درنظر گرفته شده و تنها وزنهای لایه خروجی تطبیق داده می شوند. لازم به ذکر است که یادگیری با مراکز و پهنای ثابت از جمله روشهای آموزش شبکه عصبی RBF می باشد. لذا، یادگیری شبکه عصبی با فرایندی بهینه سازی خطی و در فضای دکارتی صورت می گیرد. در این شیوه آموزش، بردار مراکز بطور تصادفی از میان داده های آموزش انتخاب شده و پهنای توابع نیز براساس تصادفی از میان داده های آموزش انتخاب شده و پهنای توابع نیز براساس

می شود. قیودی که در برنامه حل سینماتیک وارون درنظر گرفته شده اند شامل محدودیت موقعیت مفاصل و مانع در فضای کاری ربات می باشند. برنامه اجتناب از مانع با بررسی شرایطی چون انتخاب متغیر مفاصل در گیر در معادلات قیود بازوها و تعیین بحرانی ترین بازو صورت می گیرد. به منظور برقراری قیود مسئله در روش برنامه ریزی مرتبه دو، از تحقق یافتن شرایط کان-تاکر استفاده خواهد شد. ارزیابی عمکلرد روش پیشنهادی با شبیه سازی و تحلیل نتایج بر روی ربات بازوی PA-10 صورت خواهد گرفت. از مزایای روش پیشنهادی، قابلیت اجرای بی درنگ، درنظر گرفتن محدودیت مفاصل، اجتناب از موانع و حالتهای تکین می باشد. علاوه برآن، روش پیشنهادی نیاز به تنظیمات زیادی تکین می باشد. علاوه برآن، روش پیشنهادی نیاز به تنظیمات زیادی نداشته و به سادگی برای کاربر قابل اجرا است.

در ادامه این مقاله، ابتدا در بخش ۲ ساختار کلی روش پیشنهادی مطرح شده و سپس در بخش ۳ به تشریح زیرسیستمهای آن پرداخته خواهدشد. در بخش ۴، برنامه اجتناب از موانع تشریح خواهدشد. نتایج شبیه سازی و تحلیل آنها در بخش Δ بررسی خواهدشد. نتیجه گیری نیز در بخش Δ ارایه خواهدشد.

۲- ساختار کلی روش پیشنهادی

در این مقاله، جهت تعیین پیکربندی مفاصل متناظر با موقعیت مطلوب د کارتی، از ترکیب شبکه عصبی با روش برنامه ریزی مرتبه دو استفاده می شود. متناظر با هر زاویه مفصل، یک شبکه عصبی RBF مورد-استفاده قرار گرفته شده و در نتیجه، هفت شبکه عصبی به صورت موازی و برای تعیین هر یک از زاویه مفاصل ربات بازوی سری هفت درجه آزادی افزونه استفاده شده اند. فرایند یادگیری شبکه ها در فضای د کارتی و به صورت بی درنگ صورت می گیرد. شکل ۱ ساختار کلی روش پیشنهادی را نشان می دهد، که در آن \mathbf{p} موقعیت مطلوب در فضای د کارتی، \mathbf{p} را نشان می دهد، که در آن \mathbf{p} موقعیت مطلوب در فضای د کارتی، \mathbf{p} روز نشای مجری نهایی، \mathbf{p} \mathbf{p} (\mathbf{r}). زاویه مفصل نام، وزن های اولیه شبکه عصبی مفصل نام و \mathbf{w} بردار وزن های اولیه شبکه عصبی می باشد. جهت بر آورده شدن قبود مسئله که عروش برنامه ریزی مرتبه دو برای تطبیق وزن های لایه خروجی شبکه عصبی مورداستفاده قرارمی گیرد. از طرفی، سیستم فازی نیز شرایط اولیه مناسب را برای شبکه عصبی فراهم می کند.

حمید توشنی، محمد فرخی

$$\begin{bmatrix} \mathbf{H}_{m \times m} & \mathbf{A}_{m \times n} & \mathbf{0}_{m \times n} \\ \mathbf{A}^{T}_{n \times m} & \mathbf{0}_{n \times n} & \mathbf{I}_{n \times n} \end{bmatrix} \begin{bmatrix} \mathbf{d} \\ \mathbf{u} \\ \mathbf{s} \end{bmatrix} = \begin{bmatrix} -\mathbf{c} \\ \mathbf{b} \end{bmatrix}$$
 (V.

که در آن m تعداد متغیرهای طراحی ${\bf w}$ و n تعداد قیود مسئله میباشد. جهت برقراری قیود مسئله، شرایطی موسوم به کان–تاکر 1 باید برآورده شوند. این شرایط عبار تند از:

- ماتریس H معین مثبت باشد.
- وارونپذیر باشد. $egin{bmatrix} \mathbf{H}_{m imes m} & \mathbf{A}_{m imes n} & \mathbf{0}_{m imes n} \ \mathbf{A}_{n imes m}^T & \mathbf{0}_{n imes n} & \mathbf{I}_{n imes n} \end{bmatrix}$ وارونپذیر باشد.
 - بردارهای u و s مثبت باشند.
 - رابطه $\mathbf{u}^T\mathbf{s}=0$ برقرار شود.

با محاسبه بردار جستجوی \mathbf{d} ، وزنهای شبکه عصبی به صورت زیر تطبیق می شوند:

$$\mathbf{w}(k+1) = \mathbf{w}(k) + \eta \mathbf{d}(k) \tag{A}$$

۳-۳ سیستم فازی

سیستمهای فازی نیز مانند شبکههای عصبی دارای قابلیت نگاشت غیر خطی براساس جفت دادههای ورودی- خروجی بوده و از چند بخش تشکیل شدهاست. بخش نخست آن فازی گر است که ورودی صریح را به مقداری فازی یا غیردقیق تبدیل می کند. موتور استنتاج با استفاده از قواعد فازی و توابع عضویتی که برمبنای تجربه شخص خبره ساخته شدهاند، خروجیهای فازی را تعیین میکند. در انتها نیز فازیزدا وجود دارد. جایی که خروجیهای فازی، به مقادیر واضح تبدیل میشوند. ورودی-های سیستم فازی مورد نظر، مختصات دکارتی مجری نهایی و خروجی آن وزن متناظر لایه خروجی شبکه عصبی میباشد. بهعبارتی، برای هر وزن شبکه عصبی، یک سیستم فازی درنظر گرفته می شود. هدف سیستم فازی این است که جواب اولیه مناسب را برای شبکه عصبی فراهم کند. با استفاده از شرایط اولیه مناسب، این امکان فراهم می شود که الگوریتم برنامه ریزی مرتبه دو با حداقل زمان ممکن به جواب بهینه همگرا شود. باید توجه داشت که تشکیل سیستم فازی و اجرای آن برای یافتن وزن-های اولیه بهصورت قطع خط انجام می شود. بنابراین، مشکلی را از نظر بی درنگ بو دن روش برای مسائل کنترلی بو جو دنمی آورد.

بنابراین، روند کلی الگوریتم پیشنهادی برای حل سینماتیک وارون ربات بازوی سری افزونه را میتوان بهصورت زیر بیان نمود:

۱- مسیر مطلوب دکارتی به تعدادی نقاط گسسته تقسیم می شود. این
 نقاط به عنوان ورودی به شبکه های عصبی اعمال می شوند.

فاصله بردار مراکز از یکدیگر تعیین میشوند. ساختار کلی شبکه عصبی RBF بهصورت شکل ۲ میباشد.

با توجه به ساختار ارائهشده در شکل مذکور، رابطه بین ورودی و خروجی شبکه بهصورت زیر میباشد:

$$F(\mathbf{x}) = \sum_{i=1}^{m} w_i G(||\mathbf{x} - \mathbf{t}_i||)$$
(1)

که در آن w_i وزن لایه خروجی متناظر با نرون شماره m تعداد نرونها و $G(\|\mathbf{x} - \mathbf{t}_i\|)$ معرف تابع فعال سازی است که رابطه آن به صورت زیر می باشد:

$$G(\parallel \mathbf{x} - \mathbf{t}_i \parallel) = \exp\left(-\frac{1}{2} \left(\frac{(\mathbf{x} - \mathbf{t}_i)^T (\mathbf{x} - \mathbf{t}_i)}{\sigma_i^2}\right)\right) \tag{Y}$$

۲-۳ روش برنامه ریزی مرتبه دو

به طور کلی، هدف مسئله بهینه سازی مقید، تعیین بردار \mathbf{w} به گونه ای است که تابع هزینه $f(\mathbf{w})$ مشروط به قید نامساوی $g(\mathbf{w}) \leq 0$ حداقل گردد. از جمله روشهای مناسب جهت حل چنین مسائلی، روش برنامه ریزی مرتبه دو می باشد که معادلات کلی آن به صورت زیر می باشد [19]:

$$\overline{f} = \mathbf{c}^T \mathbf{d} + .5\mathbf{d}^T \mathbf{H} \mathbf{d}$$

$$\mathbf{A}^T \mathbf{d} \le \mathbf{b}$$
(Y)

که در آن تابع \overline{f} ، بردارهای \mathbf{b} ، \mathbf{c} و ماتریس \mathbf{A} برابرخواهندبود با

$$\overline{f} = f(\mathbf{w}^k + \Delta \mathbf{w}^k) - f(\mathbf{w}^k)$$

$$c_i = \frac{\partial f(\mathbf{w}^k)}{\partial w_i}; b_j = -g_j(\mathbf{w}^k)$$

$$\mathbf{A} = \begin{bmatrix} a_{ij} \end{bmatrix}_{m \times n}; a_{ij} = \frac{\partial g_j(\mathbf{w}^k)}{\partial w_i}$$

$$d_i = \Delta w_i^k; i = 1, 2, ..., m; j = 1, 2, ..., n$$
(4)

برای حل مسئله برنامه ریزی مرتبه دو، ابتدا با تعریف بردار ۵، قیود نامساوی بهصورت زیر به قیود مساوی تبدیل می شوند:

$$\mathbf{A}^T \mathbf{d} + \mathbf{s} = \mathbf{b} \quad \mathbf{s} \ge 0 \tag{2}$$

سیس، تابع لاگرانژ به صورت زیر تعریف می شود:

$$L = \mathbf{c}^T \mathbf{d} + .5\mathbf{d}^T \mathbf{H} \mathbf{d} + \mathbf{u}^T (\mathbf{A}^T \mathbf{d} + \mathbf{s} - \mathbf{b})$$
 (8)

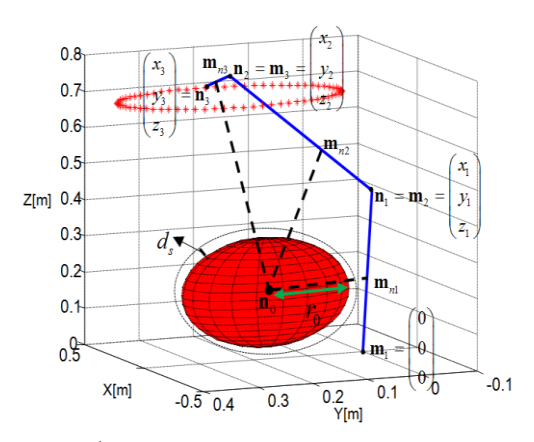
که در آن \mathbf{u} بردار ضریب لاگرانژ نام دارد. با مشتق گیری تابع لاگرانژ نسبت به بردار جستجوی \mathbf{d} و بردارهای \mathbf{u} و \mathbf{s} ، رابطه ماتریسی زیر تشکیل می شود که براساس آن می توان بردار جستجوی \mathbf{d} را جهت تطبیق وزن-های شبکه به دست آورد:

¹ Kun-Tucker

که در آن i شماره بازو و lpha پارامتری وابسته به مختصات مفاصل است \mathbf{n}_{n} تا مرکز مانع \mathbf{n}_{0} برابر است با $0 \leq lpha \leq 1$

$$dist = \left\| \mathbf{m}_i + \alpha \mathbf{m}_i \mathbf{n}_i - \mathbf{n}_0 \right\|^2 \tag{1.1}$$

$$\mathbf{m}_{i}^* = \mathbf{m}_i + \left(\frac{(\mathbf{m}_i \mathbf{n}_0)^T (\mathbf{m}_i \mathbf{n}_i)}{(\mathbf{m}_i \mathbf{n}_i)^T (\mathbf{m}_i \mathbf{n}_i)}\right) \mathbf{m}_i \mathbf{n}_i; i = 1, 2, 3$$
(11)



شکل ۳: موقعیت نقاط روی بازوها و مانع نسبت به یکدیگر

نقطه بحرانی معرف نقطهای روی بازوی ربات است که از کمترین فاصله تا مرکز مانع نسبت به سایر نقاط بازو برخوردار می باشد. به منظور کاهش تعداد قیود مربوط به بازوها در شبکههای عصبی، دو راه کار درنظر گرفته می شود. در ابتدا، معادلات قیود بازو استخراج شده و براساس آنها، تنها قیودی در شبکه عصبی درنظر گرفته می شوند که متغیر مفصل متناظر با خروجی شبکه را دراختیار داشته باشند. لازم به ذکر است که در هر قید بازو، تنها مختصات ابتدا و انتهای بازو و اطلاعات مانع دخالت دارند. برای نمونه، مختصات ابتدا و انتهای بازوی نخست ربات دخالت دارند. برای نمونه، مختصات ابتدا و انتهای بازوی نخست ربات بازوی می باشد:

$$\mathbf{m}_{1} = \begin{bmatrix} 0 & 0 & 0 \end{bmatrix}^{T}$$

$$\mathbf{n}_{1} = \begin{bmatrix} 0.5c_{1}s_{2} & 0.5s_{1}s_{2} & 0.5c_{2} \end{bmatrix}^{T}$$
(1Y)

که در آن $c_i = c_i$ معرف $c_i = c_i$ و $c_i = c_i$ که در آن $c_i = c_i$ میباشند. با توجه به رابطه (۱۲)، قید بازوی نخست تنها در شبکههای عصبی اول و دوم شامل شده و سایر شبکهها از این قید مستثنی میباشند. راه کار دیگر این است که در هر لحظه، بحرانی ترین بازو تعیین شود. این بازو از

۲- با توجه به محدوده تغییرات مسیر مطلوب دکارتی و میزان فاصله آنها از یکدیگر، بردار مراکز و پهنای توابع گوسی شبکههای عصبی تعیین میشوند. بردار مراکز به طور تصادفی از داخل بازه تغییرات مسیر مطلوب انتخاب شده و واریانس نیز به طور تقریبی بر اساس حداکثر فاصله مراکز از یکدیگر تعیین میشود. در این صورت، خروجی شبکه با استفاده از روابط (۱) و (۲) به طور لحظه ای بدست می آید.

۳- اطلاعات قیود مسئله شامل محدودیت موقعیت مفاصل ربات، شعاع و مرکز مانع یا موانع به روش برنامهریزی مرتبه دو اعمال شده و ایس روش براساس رابطه (۷) و تحقق شرایط کان-تاکر، وزنهای شبکه عصبی را بهروز می نماید.

۴- متناظر با هر مسیر مطلوب در فضای دکارتی، اولین نقطه از آن مسیر به سیستم های فازی اعمال شده و آنها وزن های اولیه شبکه عصبی را براساس معیارهایی چون امکان پذیری جواب مفاصل و مجاورت مجری نهایی به اولین نقطه مطلوب دکارتی تعیین می نمایند.

۵- روند مذکور در جهت کاهش خطای دکارتی مجری نهایی طراحی شده و چنانچه این خطا از آستانه معینی کمتر شود، الگوریتم متوقف می- شود. وزنهای نهایی متناظر با هر نقطه از مسیر مطلوب به عنوان وزنهای اولیه شبکه عصبی برای نقطه بعدی از مسیر مطلوب درنظر گرفته می شود.

۴- برنامه اجتناب از مانع

به منظور فرمول سازی مسئله اجتناب ازمانع، فرض کنید که مانع موجود در فضای کاری توسط کرهای به شعاع r_0 و مرکز $\mathbf{n}_0 = [x_0 \ y_0 \ z_0]^T$ محصور شده باشد. همچنین، مختصات ابتدا و انتهای بازوی ربات هم به ترتیب با $\mathbf{m}_i = [x_i \ y_i \ z_i]^T$ و $\mathbf{m}_i = [x_i \ y_i \ z_i]^T$ و $\mathbf{m}_i = [x_i \ y_i \ z_i]^T$ و توصیف می شود. برای این که امکان هر گونه برخوردی بین بازو و مانع رخ ندهد، ناحیه ای امنیتی حول کره محصور کننده مانع در نظر گرفته می شود. فاصله بین نقطه بحرانی و مرکز مانع باید از مجموع شعاع کره و ناحیه امنیتی بیشتر باشد. نقطه بحرانی روی هر بازو، نزدیک ترین فاصله را به مرکز مانع دارد. شکل ۳، موقعیت مانع و بازوهای ربات، نقاط بحرانی و ناحیه امنیتی را نشان می دهد.

شعاع ناحیه امنیتی برابر d_s می باشد. مختصات هر نقطه روی بازوی i را می توان به صورت پارامتری و با اطلاعات موقعیت دکارتی مفاصل ابتدا و انتهای بازو تعیین نمود. فرض کنید $\mathbf{m}_{ni} = \begin{bmatrix} x_i & y_i & z_i \end{bmatrix}^T$ معرف مختصات نقطه مدکور را می توان به صورت پارامتری و با توجه به مختصات ابتدا و انتهای بازو نوشت. به عبارت دیگر

$$\mathbf{m}_{ni} = \mathbf{m}_i + \alpha \mathbf{m}_i \mathbf{n}_i \qquad i = 1, 2, 3 \tag{9}$$

برنامهریزی مرتبه دو

نزدیک ترین فاصله نسبت به سایر نقاط روی بازوها برخوردار است. چنانچه در هر لحظه، بازوی مذکور از مانع اجتناب ورزد، سایر بازوها نیز از برخورد حفظ خواهندشد. برای این منظور، کافی است که در هر مرحله از فرایند بهینه سازی، بازویی که نز دیک ترین فاصله را تا مانع دارد، تعیین شده و تنها قید مربوط به این بازو در شبکههای عصبی اعمال شود.

۵- نتایج شبیهسازی و تحلیل نتایج

بهمنظور نشان دادن عملکرد روش پیشنهادی در این مقاله، شبیه-سازی های کامپیوتری بر روی ربات بازوی PA-10 که ساخت شرکت میتسوییشی است، انجام شدهاست. این ربات که یکی از متداول ترین رباتهای افزونه است، دارای هفت درجه آزادی با مفاصل دورانی می-باشد. یارامتر های دناویت-هارتنبرگ (D-H) این ربات در جدول ۱ ارایه شده است که در آن $d_{7}=.08 m$ و $d_{5}=.5 m$ ، $d_{3}=.45 m$ هستند. محدودیت موقعیت و سرعت مفاصل این ربات در جدول ۲ ارائه شده-است. جهت تطبیق مناسب وزنهای شبکه به گونهای که اهداف اولیه و ثانویه به خوبی بر آورده شوند، از روش برنامهریزی مرتبه دو که در بخش ۳-۲ ارایه شد، استفاده می شود. برای برقراری شرایط کان-تاکر، ابتدا با قراردادن پارامتر تنظیم λ بهصورت $\lambda \mathbf{I}$ و ترکیب با ماتریس

ا مشکل تکینگی آن حل خواهدشد.
$$egin{pmatrix} \mathbf{H}_{m imes m} & \mathbf{A}_{m imes n} & \mathbf{0}_{m imes n} \\ \mathbf{A}^T_{n imes m} & \mathbf{0}_{n imes n} & \mathbf{I}_{n imes n} \end{bmatrix}$$

جدول ۱: يارامتر هاى D-H ربات بازوى PA-10

متغیر مفصل $ heta_k$	آفست بازو d_k	طول بازو a_k	زاویه پیچش $lpha_k$	شماره مفصل
$\overline{ heta_{\!\scriptscriptstyle 1}}$	•	•	•	١
θ_{2}	•	•	-4.	۲
θ_{3}	d_3	•	٩٠	٣
$\theta_{\!\scriptscriptstyle 4}$	•	•	-4.	۴
$\theta_{\scriptscriptstyle{5}}$	d_5	•	٩٠	۵
$\theta_{\!\scriptscriptstyle 6}$	•	•	-4.	۶
θ_{7}	d_7	•	٩٠	٧

جدول ۲: محدوده موقعیت و سرعت ربات PA-10

محدوده سرعت مفاصل بر حسب رادیان بر ثانیه	محدوده موقعیت مفاصل بر حسب درجه	نوع مفصل	شماره مفصل
±ι	± 1vv	دورانی	١
±ι	± 41	دورانی	۲
±ι	± 1V4	دورانی	٣
± Y	± 144	دورانی	۴
± τ π	± 700	دورانی	۵
± τ π	± 190	دورانی	۶
\pm Y π	± 46.	دورانی	٧

از طرفی، برای تعیین بردار کمبود ۶ و بردار ضریب لاگرانژ ۱۱، شرط در فرایند حل مسئه لحاظ شدهاست. همچنین، با انتخاب $\mathbf{u}^T\mathbf{s} = 0$ ماتریس $\mathbf{H} = lpha \mathbf{I}$ ، شرط مثبت معینی آن برآورده خواهدشد. پارامتر تنظیم λ نیز به گونهای انتخاب می شود که شرط $u_i, s_i \geq 0$ برقرار شود. پیکربندی های ربات در هر لحظه باید به گونهای طراحی شوند که همواره قیود فیزیکی مفاصل برقرار شوند تا مجری نهایی قادر به ادامه حرکت خود بوده و ربات نیز دچار هیچ گونه آسیبی از این ناحیه نشود. این قیود به صورت زیر می باشند:

$$\theta_{i\min} \le \theta_i \le \theta_{i\max}$$
; $i=1,2,...,7$

که در آن θ_{ima} و به ترتیب، حداقل و حداکثر مقدار PA- موقعیت مفصل iام میباشند. از طرفی، با توجه به اینکه در ربات 10، حداقل موقعیت هر مفصل برابر منفی حداکثر مقدار آن میباشد، قید موقعیت هر مفصل بهصورت زیر خواهدبود:

$$|\theta_i| - \theta_{i,\text{max}} \le 0; \quad i = 1, 2, ..., 7$$

تشكيل قيود اجتناب از موانع برمبناي فاصله بين موقعيت نقطه بحراني تا مرکز مانع، شعاع کره و ناحیه امنیتی صورت می گیرد. به عبارت دیگر، فرمولسازي مسئله بهصورت زير خواهدبود:

$$r_0 + d_s - \|\mathbf{m}_{i}^* - \mathbf{n}_0\| \le 0; \ i = 1, 2, 3$$

با توجه به روش برنامهریزی مرتبه دو، بردار منفی قیود b و ماتریس مشتقات قيو د A برابر خواهند بو د با

$$\begin{aligned} \mathbf{b}_{j} = -\begin{bmatrix} \mathbf{h}_{1j} \\ \mathbf{h}_{2j} \end{bmatrix}; \ \mathbf{A}_{j} = \begin{bmatrix} \frac{\partial}{\partial \mathbf{w}_{j}} & \frac{\partial}{\partial \mathbf{w}_{j}} \\ \frac{\partial}{\partial \mathbf{w}_{j}} & \frac{\partial}{\partial \mathbf{w}_{j}} \end{bmatrix} \\ \mathbf{h}_{1j} = |\boldsymbol{\theta}_{j}| - \boldsymbol{\theta}_{j\max}; \mathbf{h}_{2j} = r_{0} + d_{s} - \|\mathbf{m}_{nj}^{*} - \mathbf{n}_{0}\| \\ \mathbf{w}_{j} = \begin{bmatrix} w_{1j} & w_{2j} & w_{3j} & w_{4j} \end{bmatrix}^{T}; \ j = 1, 2, ..., 7 \end{aligned}$$

$$\mathbf{v}_{j} = \begin{bmatrix} w_{1j} & w_{2j} & w_{3j} & w_{4j} \end{bmatrix}^{T}; \ j = 1, 2, ..., 7$$

$$\mathbf{v}_{j} = \begin{bmatrix} \mathbf{w}_{1j} & \mathbf{w}_{2j} & \mathbf{w}_{3j} & \mathbf{w}_{4j} \end{bmatrix}^{T}; \ j = 1, 2, ..., 7$$

$$\mathbf{v}_{j} = \begin{bmatrix} \mathbf{w}_{1j} & \mathbf{w}_{2j} & \mathbf{w}_{3j} & \mathbf{w}_{4j} \end{bmatrix}^{T}; \ j = 1, 2, ..., 7$$

می باشد. با استفاده از معادلات رابطه (۱۶) و رابطه (۷) بردار جستجوی d تعیین می شود. با تعیین بردار جستجو تحت برقراری شرایط کان-تاکر و با استفاده از رابطه (۷)، وزن های شبکه به صورت زیر تطبیق می شوند:

$$w_i(k+1) = w_i(k) + \eta \Delta w_i(k)$$

 $\Delta w_i(k) = d_i(k); i = 1, 2, ..., m$
(1Y)

با بهروز شدن وزنهای شبکه، متغیر مفاصل ربات نیز بهعنوان خروجی شبکه بهصورت زیر بهروز میشوند:

$$\theta_{i}(k) = \sum_{j=1}^{4} w_{j}(k) G(||\mathbf{x} - \mathbf{t}_{i}||); i = 1, 2, ..., 7$$

$$G(||\mathbf{x} - \mathbf{t}_{i}||) = \exp\left(-\frac{1}{2} \left(\frac{(\mathbf{x}_{d} - \mathbf{t}_{i})^{T} (\mathbf{x}_{d} - \mathbf{t}_{i})}{\sigma_{i}^{2}}\right)\right)$$
(1A)

از طرفی، با تعیین مقدار جدید موقعیت مفاصل، موقعیت مجری نهایی \mathbf{x} و به دنبال آن اطلاعات خطای د کارتی \mathbf{e} و مشتق آن بهروز شده و برای تطبیق مجدد وزنهای شبکه مور داستفاده قرار می گیرند. به عبارت دیگر

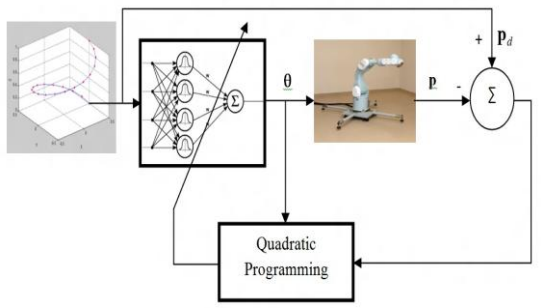
$$\mathbf{x}(k) = \begin{bmatrix} x(k) & y(k) & z(k) \end{bmatrix}^T; \mathbf{e}(k) = \mathbf{x}(k) - \mathbf{x}_d$$

$$\mathbf{x}_d = \begin{bmatrix} x_d & y_d & z_d \end{bmatrix}^T; \mathbf{J} = \frac{1}{2} \|\mathbf{e}(k)\|^2$$
(14)

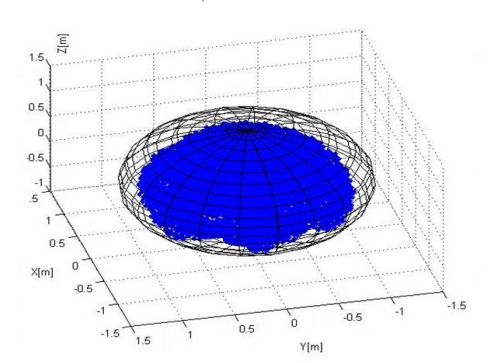
لازم به ذکر است که تمامی هفت شبکه عصبی RBF دارای ۴ نرون می باشد. در ارتباط با سینماتیک وارون، شرایط وزنی باید به گونهای انتخاب شوند که موقعیت اولیه مجری نهایی تا حد امکان به اولین نقطه مطلوب نزدیک باشد و از طرفی، موقعیت اولیه مفاصل متناظر نیز شرط امكان پذيري جواب را رعايت كنند. چنانچه شرايط اوليه اين شرط را برآورده نسازند، زمان اجرای محاسبات بهطور طبیعی افزایش خواهد-یافت. بهمنظور کاهش این زمان، از سیستم فازی برای مقداردهی اولیه وزنهای شبکه عصبی استفاده می شود. تشکیل این سیستم فازی براساس برنامه جدول ارجاع صورت مي گيرد [٢٠]. براساس اين روش، ابتدا بايد مجموعهای از دادههای ورودی و خروجی فراهمشود. دادههای ورودی، موقعیتهای متفاوت در فضای دکارتی و خروجی نیز وزن لایه خطی شبکه عصبی میباشد. از آنجایی که سیستمهای فازی دارای یک خروجی میباشند، به ازای هر وزن شبکه عصبی یک سیستم فازی درنظر گرفته می شود. لذا، با توجه به این که هر شبکه عصبی دارای ۴ نرون میباشد، در مجموع ۲۸ سیستم فازی تشکیل میشود تا وزنهای اولیه هفت شبکه عصبی را تعیین نمایند.

جهت جمع آوری دادههای ورودی و خروجی، با استفاده از برنامه کنترل سینماتیکی پیشنهادی و بدون وجود سیستم فازی، وزنهای نهایی شبکه که به ازای آنها خطای دکارتی مجری نهایی حداقل شدهاست، تعیین شده و این وزنها همراه با ورودی متناظر ذخیره می شوند. برای این منظور، از ساختاری مطابق با شکل ۴ استفاده می شود. برای جمع آوری

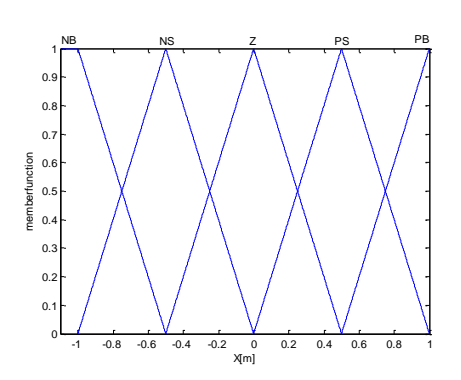
دادههای ورودی، ابتدا مجموعهای از نقاط دکارتی بهطور یکنواخت از داخل فضای کاری ربات جمع آوری می شود. در شکل ۵ نمونهای از دادههای فضای کاری ربات بازوی PA-10 ارایه شده است. با استفاده از ساختار شکل ۴، دادههای خروجی یا وزنهای شبکه عصبی متناظر با دادههای دکارتی ورودی به دست می آیند. به ازای این وزنها، خطای مجری نهایی صرف نظر از زمان اجرای محاسبات حداقل شده است. براسس اطلاعات به دست آمده، برای هر یک از دادههای ورودی و خروجی، ۵ تابع عضویت مثلثی تعریف خواهد شد. در شکل ۶ توابع عضویت ورودی X نشان داده شده است.با استفاده از روش جدول ارجاع، متناظر با هر جفت داده ورودی –خروجی یک قاعده فازی تعیین می شود. این امر با مقداردهی توابع عضویت تعریف شده برای هر داده و یافتن تابع عضویتی با حداکثر مقدار صورت می گیرد. سپس، با تعریف درجه عضویتی برای هر قاعده، قواعد متناقض حذف می شوند.



شكل ۴: ساختار پیشنهادی بدون سیستم فازی برای جمع آوری دادههای لازم جهت تشكیل سیستم فازی



شكل ۵: مجموعه اي از داده هاي فضاي كاري ربات بازوي PA-10



حمید توشنی، محمد فرخی

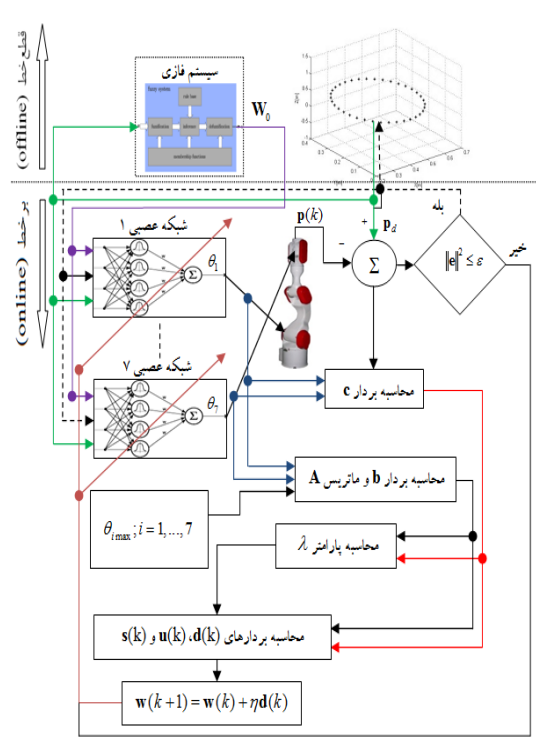
شكل ۶: توابع عضويت ورودي X

در نهایت، با انتخاب فازی گر تکین، فازیزدای میانگین مرکز و موتور جستجوی ضرب، سیستم فازی بهصورت زیر تعیین میشود:

$$f(w) = \frac{\sum_{l=1}^{n} \overline{w}^{l} \mu_{x}^{l}(x) \mu_{y}^{l}(y) \mu_{z}^{l}(z)}{\sum_{l=1}^{n} \mu_{x}^{l}(x) \mu_{y}^{l}(y) \mu_{z}^{l}(z)}$$
 (Y•)

که در آن، l شماره قاعده، \overline{W} مرکز تابع عضویت خروجی و $\mu_x^l(z)$ و $\mu_y^l(y)$ ، $\mu_x^l(x)$ و ورودیهای x و y میباشند.

نکته 1: سیستم های فازی در الگوریتم پیشنهادی تنها برای اولین نقطه از هر مسیر مطلوب وارد عمل شده و هدف آن ها سرعت بخشیدن به فرایند حل سینماتیک وارون متناظر با نقطه دکارتی مذکور می باشد.



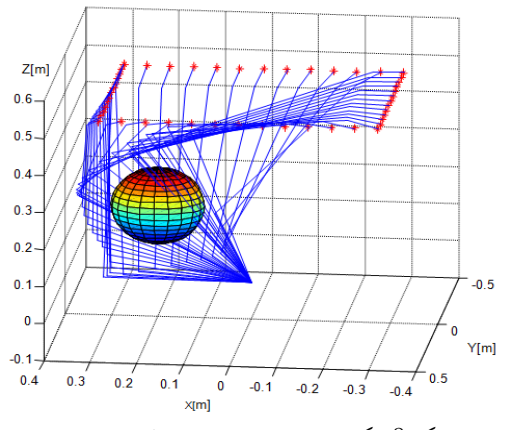
شكل ٧: روند محاسباتي ساختار پيشنهادي

نکته ۲: با توجه به اینکه هر سیستم فازی دارای سه ورودی و یک خروجی میباشد، امکان نمایش جدول قواعد فازی بهصورت دو بعدی وجود ندارد. از طرفی، برای هر یک از دادههای ورودی و خروجی تعداد ۵ تابع عضویت در نظر گرفته شده که با توجه به فضای کاری غیرخطی شدید ربات بازوی PA-10، برای هر سیستم فازی بیش از ۹۰ قاعده فازی با حذف قواعد متناقض بدست آمده است. لذا، از ارایه قواعد فازی در این مقاله صرفنظر شده و تنها چگونگی تشکیل این قواعد و نتایج حاصل از عملکرد سیستمهای فازی تشریح شده است.

روند محاسباتی ساختار پیشنهادی در شکل ۷ نشان داده شده است. مطابق با این ساختار، ابتدا اولین نقطه از مسیرمطلوب به سیستم فازی اعمال می شود. خروجی این سیستم، به عنوان وزنهای اولیه به شبکه عصبی تزریق می شود. شبکه ها با این وزنها و نقطه مطلوب به عنوان ورودی، زاویه مفاصل را تعیین می کنند.

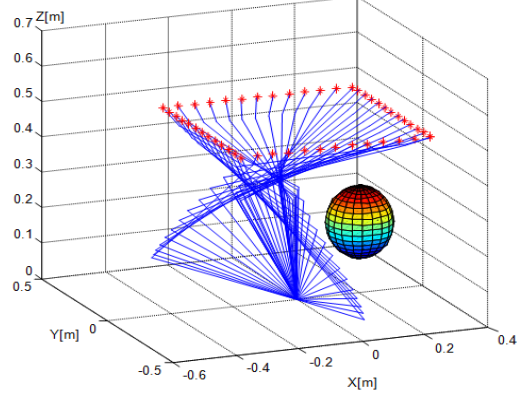
روش برنامه ریزی مرتبه دو از اطلاعات خطای دکارتی، بردار و ماتریس مشتقات قیود استفاده نموده و از این طریق، تطبیق مناسب وزنها را با درنظر گرفتن شرایط همگرایی و برآورده شدن شرایط کان-تاکر صورت می دهد. شرط توقف الگوریتم این است که تابع هزینه رابطه (۱۹) باید کمتر از مقدار از پیش تعیین شده $= 10^{-6}$ باشد. در این صورت، نقطه بعدی از مسیر مطلوب به عنوان ورودی جدید اعمال می- شه د.

به منظور شبیه سازی و تحلیل روش پیشنهادی، مسیری مستطیل شکل در نظر گرفته شده است. از طرفی، مانعی با مرکز (0.2, 0.2, 0.2) و شعاع 1.1 متر فضای کاری ربات را محدود نموده است. در ابتدا، حل مسئله به صورت نامقید صورت می گیرد. شرایط اولیه ربات نیز صفر در نظر گرفته شده است. شکل 1.1 پیکربندی های ربات را در حالت نامقید و هنگام ردیابی مسیر مطلوب نشان می دهد. با توجه به این شکل، تعدادی از بازو های ربات هنگام ردیابی مسیر مطلوب به مانع برخورد نموده اند. حال مسیر مطلوب مذکور به برنامه پیشنهادی و مطابق با روند ارائه شده در شکل 1.1 اعمال می شود. شکل 1.1 پیکربندی های ربات را در حالت مقید و جهت ردیابی مسیر مستطیلی نشان می دهد. مطابق با این شکل، بازوهای ربات به طور کامل از مانع اجتناب ورزیده اند. از طرفی، جهت دست یابی به چنین پیکربندی هایی، متغیر مفاصل باید در محدوده مجاز خود قرار گیرند. به عبارت دیگر، جواب سینماتیک وارون باید امکان پذیر باشد تا گیرند. به عبارت دیگر، جواب سینماتیک وارون باید امکان پذیر باشد تا ربات قادر به ردیابی مسیر موردنظر باشد.



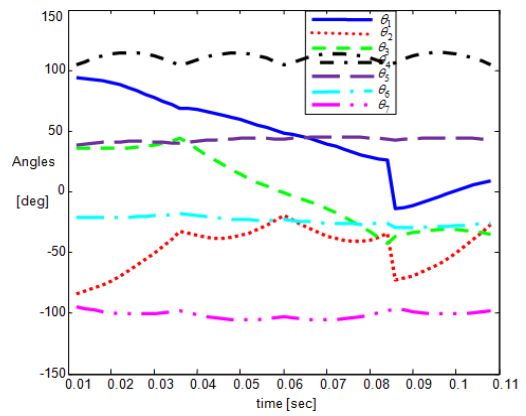
شکل 8: پیکربندی های نهایی ربات در حالت نامقید



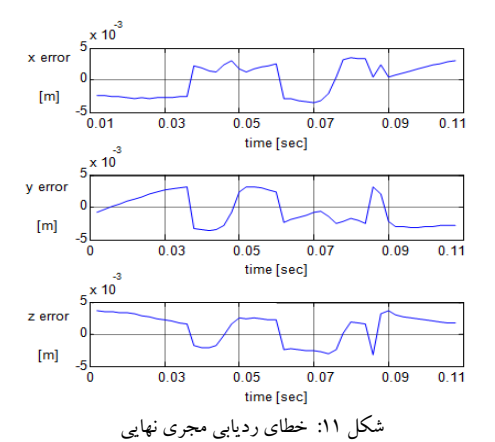


شکل ۹: پیکربندی های نهایی ربات در حالت مقید

در ساختار پیشنهادی این مسئله نیز لحاظ شده و متناظر با پیکربندی-های شکل ۹ موقعیت نهایی مفاصل به گونهای تعیین شدهاند که همواره از محدودیت ساختاری خود اجتناب ورزیدهاند. این مسئله در شکل ۱۰ مشاهده می شود. اجتناب از مانع و محدودیت های فیزیکی ربات از جمله اهداف ثانویه ربات محسوب میشوند که با استفاده از خاصیت افزونگی قابل اجرا می باشند. به طور معمول، مهم ترین و اصلی ترین وظیفه ربات این است که مسیر طراحی شده برای حرکت آن را با حداقل خطای دکارتی تعقیب نماید. این خطا معرف اختلاف بین مجری نهایی و موقعیت هدف میباشد. خطای مذکور که متناظر با پیکربندی های نهایی ربات جهت ردیابی مسیر مستطیلی شکل می باشد، در شکل ۱۱ ارایه شدهاست.



شکل ۱۰: موقعیت نهایی مفاصل در حالت مقید



با توجه به این شکل ، مجری نهایی ربات در فاصله کمتر از پنج میلی متر از موقعیت های مطلوب د کارتی قرار دارد و لذا، هدف اولیه ربات بهخوبی محقق شدهاست. نکتهای که باید در این قسمت اشاره نمود این است که با توجه به حل عددی سینماتیک وارون، مسئله دقت جواب تا حدودی قربانی می شود. از طرفی، خطای د کارتی بدست آمده را می توان به میزان بیشتری کاهش داد، اما این امر زمان اجرای محاسبات را افزایش داده و اجرای بی درنگ روش پیشنهادی را با مشکل روبرو مینماید. بنابراین، باید مصالحهای را بین زمان اجرای محاسبات و دقت جواب برقرار نمود. هنگام طراحی حرکت مفاصل ربات، هرچه بازوها از مانع دورتر باشند، ربات با پیوستگی بهتری مسیر موردنظر را طی خواهدنمود. فاصله بین بازو و مانع باید هر لحظه از مجموع شعاع مانع و ناحیه امنیتی بیشتر باشد. شکل ۱۲ معرف فاصله بین بحرانی ترین بازو تا مانع میباشد. مطابق با شكل مذكور، حداقل فاصله بحراني ترين بازو تا مركز مانع حدود ۰.۱۵ متر می باشد که از شعاع مانع ۰.۱ متر همواره بیشتر است. باتوجه به این که حل مسئله سینماتیک وارون بهصورت بی درنگ صورت می گیرد، زمان اجرای محاسبات بسیار حائزاهمیت میباشد. درواقع، روش پیشنهادی باید قادر باشد که در زمان نمونهبرداری مناسب برای کاربرد-

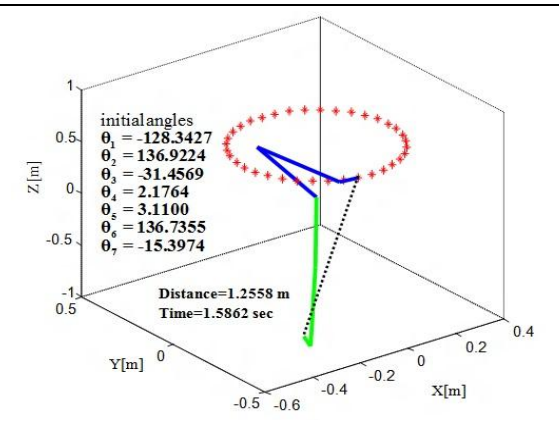
شکل ۱۳ زمان اجرای محاسبات را متناظر با نقاط گسسته مسیر مستطیلی نشان می دهد. باتوجه به این شکل، زمان اجرای محاسبات متناظر با هر نقطه دکارتی کمتر از ۶۰ میلی ثانیه (بهغیر از نقطه اول) می باشد که برای شرایط بی درنگ مناسب می باشد. باید توجه داشت که برنامه کامپیوتری شبیه سازی در محیط MATLAB نوشته شده است. چنانچه از زبانهای برنامه نویسی سطح پایین تر همانند ++c استفاده شود، زمان اجرای الگوریتم بسیار کمتر از آنچه در شکل ۱۳ نشاندادهشده است، خواهدشد که بهاین ترتیب اجرای بیدرنگ روش پیشنهادی همواره

های بی درنگ، متغیر مفاصل را تعیین نماید.

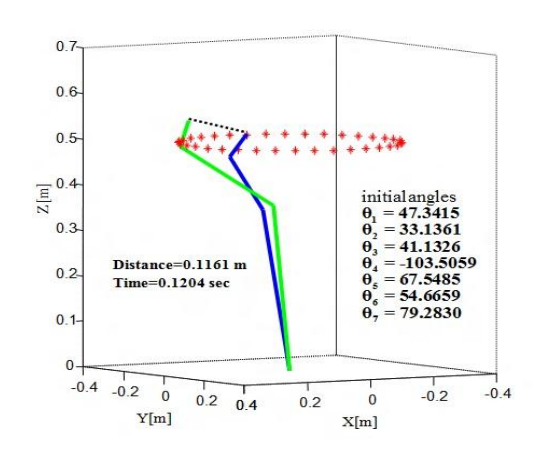
باید یادآور شد که زمان اجرای متناظر با نخستین داده از مسیر مطلوب تا حدودی بیشتر از سایر نقاط میباشد. دلیل این امر این است که همگرا شدن الگوریتم از وزنهای اولیه شبکه عصبی که توسط سیستم-فازی بدست آمدهاند، همواره زمانبر میباشد. در حالی که برای سایر نقاط دکارتی چنین وضعیتی وجود ندارد، زیرا از وزنهای نهایی متناظر با نقطه قبلی به عنوان وزنهای اولیه نقطه بعدی استفاده می شود. پیکربندی ربات متناظر با این وزنها به پیکربندی مطلوب بسیار نزدیک می باشد و لذا، الگوريتم در زمان كوتاهي جواب مسئله را مييابد.







شکل ۱۴: پیکربندی اولیه و نهایی ربات متناظر با اولین نقطه مطلوب بدون سیستم فازی

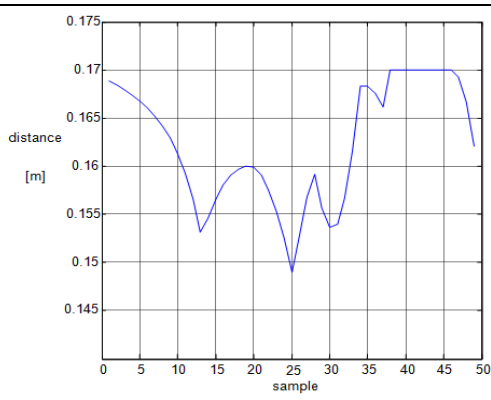


شکل ۱۵: پیکربندی اولیه و نهایی ربات متناظر با اولین نقطه مطلوب با سیستم فازی

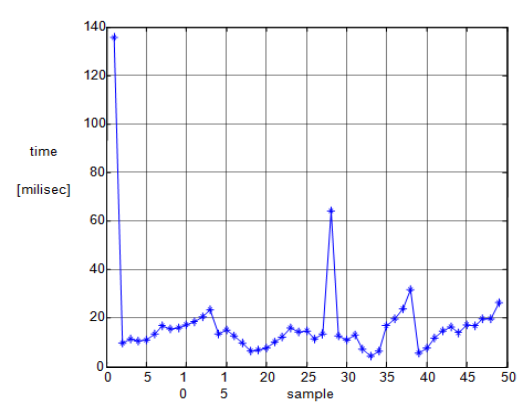
به منظور مقایسه عملکرد روش پیشنهادی در این مقاله با روشهای موجود در مقالات، نتایج شبیه سازی با نتایج روش شبه وارون ژاکوبی که متداولترین و مهم ترین روش در زمینه حل سینماتیک وارون رباتهای افزونه می باشد، مقایسه خواهدشد. در روش شبه وارون ژاکوبی، با بیان مسئله در سطح سرعت و براساس ارتباط بین سرعت مجری نهایی و سرعت مفاصل توسط ماتریس ژاکوبی، ابتدا سرعت مفاصل را تعیین نموده و سپس، موقعیت آنها را تعیین می کند. در این جا مقایسه نتایج با فرم توسعه یافته روش شبه وارون ژاکوبی که در مرجع [۳] ارایه شده است، انجام خواهدشد. در این روش

$$\begin{split} &\dot{\mathbf{q}} = \mathbf{J}^{\dagger}\dot{\mathbf{x}} + (\mathbf{I} - \mathbf{J}^{\dagger}\mathbf{J})\dot{\mathbf{q}}_{0}, \quad \mathbf{J}^{\dagger} = \mathbf{J}^{T}(\mathbf{J}\mathbf{J}^{T})^{-1} \\ &\dot{\mathbf{q}}_{0} = -\gamma\frac{\partial\Phi(\mathbf{q})}{\partial\mathbf{q}}, \quad \dot{\mathbf{x}} = \dot{\mathbf{x}}_{d} + k_{p}(\mathbf{x} - \mathbf{x}_{d}) \end{split} \tag{Y1}$$

که در آن $\dot{\mathbf{q}}$ ، $\dot{\mathbf{x}}$, $\dot{\mathbf{q}}$ بهترتیب سرعت مفاصل، سرعت مجری نهایی، سرعت مطلوب و شبهوارون ماتریس ژاکوبی می باشند. $\Phi(\mathbf{q})$ نیز تابع هزینه مناسب جهت بر آورده شدن قیود می باشد. همان طور که مشاهده می شود، این روش از دو بخش تشکیل شده است. در بخش

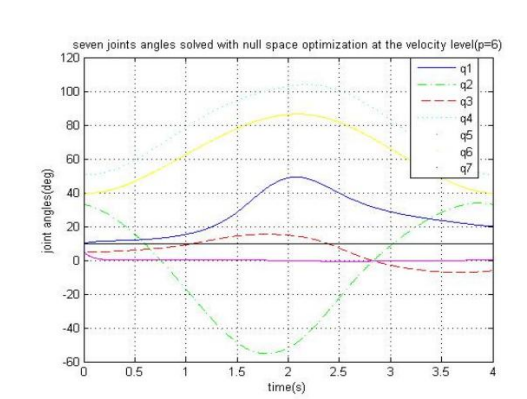


شکل ۱۲: فاصله بین بحرانی ترین بازو و مانع

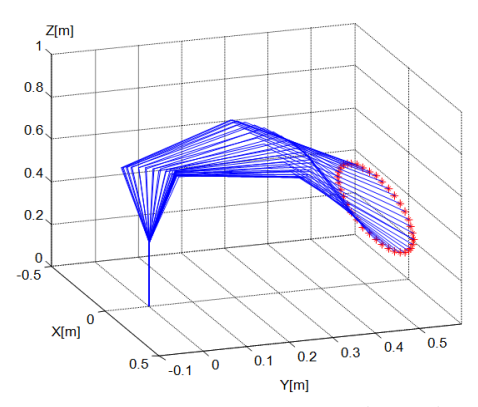


شكل ۱۳: زمان اجراي محاسبات متناظر با نقاط مسير مستطيلي

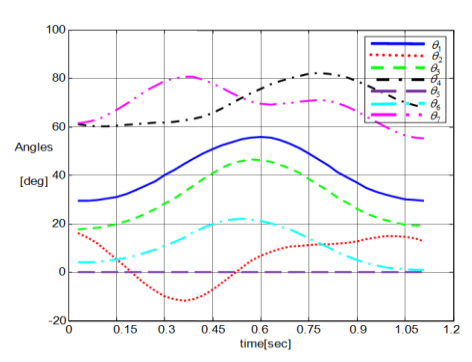
همانطور که در قسمتهای قبل اشارهشد، تعیین وزنهای اولیه شبکه عصبی جهت دستیابی به اولین نقطه از مسیر مطلوب برعهده سیستم فازی میباشد. این سیستم بر مبنای دو معیار مجاورت مجری نهایی به اولین نقطه مطلوب و امکانپذیری متغیر مفاصل، وزنهای اولیه شبکه عصبی را فراهم مینماید. برای ارائه عملکرد سیستم فازی، ابتدا شرایطی در نظر گرفته شدهاست که در آن، فاصله مجری نهایی تا موقعیت هدف زیاد بوده و متغیرهای اولیه مفاصل نیز شرط امکانپذیری مفاصل را رعایت نکردهاند. شکل ۱۴ نتیجه شبیهسازی را تحت چنین شرایطی و برای تنها اولین نقطه از مسیر دایروی نشان میدهد. با توجه به این شکل ، عدم وجود شرایط اولیه مناسب باعث شده است که ربات در زمانی بیشتر از یک ثانیه به موقعیت هدف خود دستیابد که هرگز برای کاربردهای بی درنگ و سریع مناسب نمی باشد. برای جبران سازی چنین وضعیتی، سیستم فازی به ساختار روش پیشنهادی اضافه شدهاست. شکل ۱۵ پیکربندی نهایی و اولیه ربات را متناظر با اولین نقطه از این مسیر نشان میدهد. با توجه به شکل مذکور، پیکربندی اولیه ربات در فاصله نسبتاً نزدیکی نسبت به موقعیت مطلوب قرارگرفته و متغیر اولیه مفاصل نیز در محدوده مجاز خود واقعمى شوند. چنين شرايط اوليهاى باعث شدهاست که ربات در زمانی حدود ۱۲۰ میلی ثانیه به موقعیت هدف دست پیداکند.



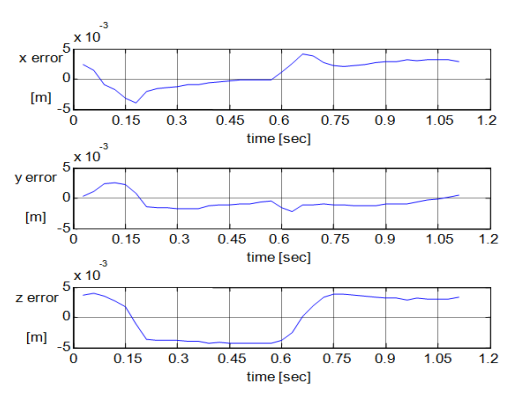
شكل ١٧: موقعيت نهايي مفاصل ربات [3]



شکل ۱۸: پیکربندی های ربات با استفاده از روش پیشنهادی



شكل ۱۹: موقعيت نهايي مفاصل با استفاده از روش پيشنهادي

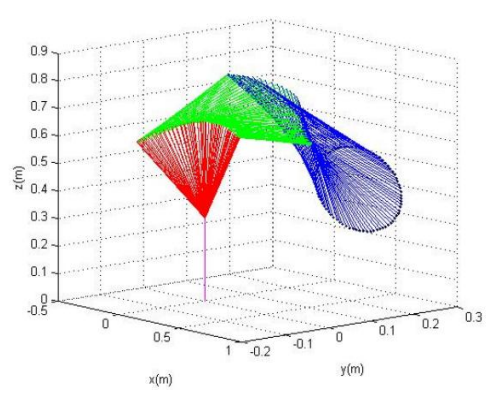


شکل ۲۰: خطای ردیابی مجری نهایی با استفاده از روش پیشنهادی

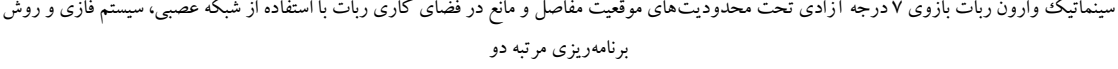
اول هدف این است که خطای دکارتی حداقل شود و در بخش دوم هدف مسئله برآوردهشدن قیود میباشد. در ابتدا با توجه به این که در مرجع [۱۱] تنها قیود فیزیکی مفاصل درنظر گرفته شدهاست، مقایسه بین دو روش بر مبنای اجتناب از این قید صورت می گیرد. لازم به ذکر است در مرجع مذکور از ربات بازوی POWERCUBE استفاده شدهاست. تابع هزینه جهت اجتناب از محدودیت موقعیت مفاصل بهصورت زیر انتخاب می شود:

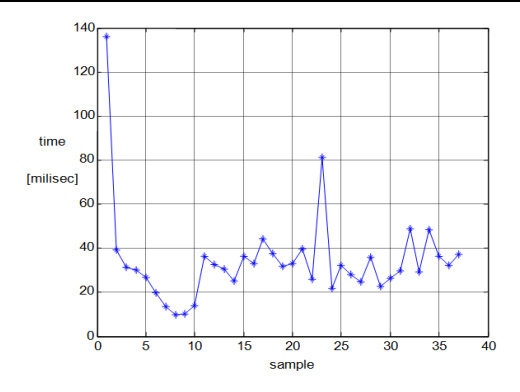
$$\Phi_{1}(\mathbf{q}) = \frac{1}{n} \sum_{i=1}^{n} \left(\frac{q_{i} - \overline{q}_{i}}{q_{iM} - q_{im}} \right)^{2}$$
 (Y2)

که در آن q_{im} و q_{im} به ترتیب حداقل و حداکثر موقعیت زاویه ای q_i را نشان می دهند. q_i بیانگر مقدار میانی گستره تغییرات مفصل q_i میباشد و n درجه آزادی ربات است. براساس مرجع موردنظر، ردیابی بر روی مسیری بیضوی با شعاع بزرگ ۱۳۰۵ متر و شعاع کوچک ۱۰۰۵ متر و در صفحه x-y صورت می گیرد. شکلهای ۱۶ و ۱۷ که از مرجع q_i اقتباس شدهاست، به ترتیب پیکربندی های ربات و موقعیت نهایی مفاصل را نشان می دهند. براساس شکل ارایه شده، حل سینماتیک وارون برای تحقق جوابی امکان پذیر، ۴ ثانیه به طول انجامیده است. نتایج شبیه سازی های روش پیشنهادی، در شکل q_i



شکل ۱۶: پیکربندیهای ربات [3]





شکل ۲۱: زمان اجرای محاسبات با استفاده از روش پیشنهادی

خطای ردیابی مجری نهایی ناچیز بوده و زمان اجرای محاسبات نیز بسیار کمتر از روش حل مرجع [۳] میباشد (شکلهای ۲۰ و ۲۱).

در ادامه، دو قید محدودیت موقعیت مفاصل و موانع در فضای کاری ربات درنظر گرفته می شود. لازم به ذکر است که باتوجه به این که روش حل مرجع [۳] تنها محددیت فیزیکی مفاصل را درنظر گرفته است، در این قسمت شبیهسازی ها بر روی ربات PA-10 صورت گرفته و تنظیم پارامترها بهصورت سعى و خطا و با هدف يافتن بهترين مقادير آنها انجام گرفته است. تابع هزینه مناسبی که بهطور معمول استفاده می شود، به-صورت مجموع وزندار توابع جريمه مي باشد. تابع جريمه مربوط به محدوديت موقعيت مفاصل بهصورت زير مي باشد:

$$\Phi_{2}(h(\mathbf{q})) = \begin{cases}
.5 \left(\frac{1}{h(\mathbf{q})} - \frac{1}{h_{0}}\right)^{2} & h_{0} < h(\mathbf{q}) < 0 \\
0 & h(\mathbf{q}) \le h_{0}
\end{cases}$$

$$h(\mathbf{q}) = d_{s} + r_{0} - dist_{min}$$
(YY)

که در آن $dist_{\min}$ حداقل فاصله بین نزدیک ترین نقطه روی بازو تا مرکز مانع میباشد، h_0 مقدار دلخواهی است که میزان تاثیر قیود را مشخص نموده و $d_{
m s}$ نيز ناحيه امنيتي حول مانع ميباشد. تابع هزينه نهايي برابر خواهد بود با

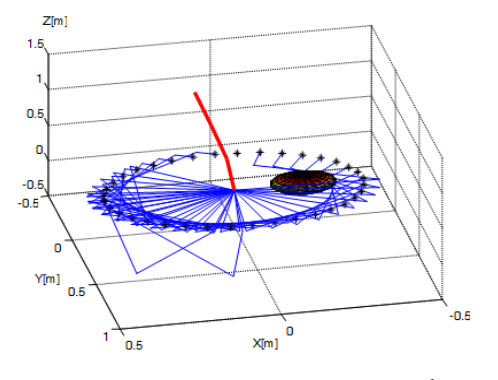
$$\Phi_{e}(\mathbf{q}) = \alpha \Phi_{1}(\mathbf{q}) + \sum_{i=1}^{n} \beta_{i} \Phi_{2}(h_{i}(\mathbf{q}))$$
 (YY)

که در آن $\, lpha \,$ و $\, eta \,$ ضرایب وزنی توابع هزینه میباشند. مسیر درنظرگرفته شده، دایرهای با شعاع ۰.۴ متر و مرکز (۰٫۰٫۰) می باشد. همچنین، مانعی به شعاع ۰.۱ متر و مرکز (۰.۱۵٫۰.۲٫۰.۲) درنظرگرفته شده است. پارامترهای روش شبهوارون ژاکوبی عبارتند از: $\beta=0$ $\beta_2 = -.$ 0 0 ($\beta_1 = .$ 0 0 ($\lambda = .$ 0 . $\alpha = .52$ یکی از مقادیر با سعی و خطا بدست می آیند که در واقع یکی از $h_0 = -.5$

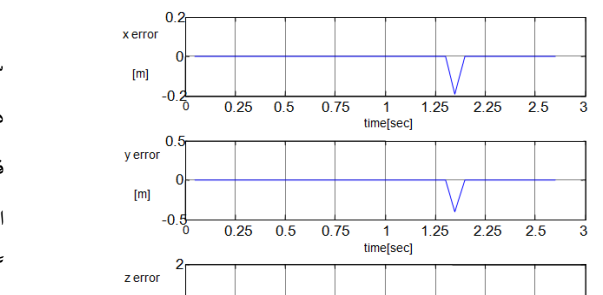
معایب این روش محسوب می شود. همان طور که در شکل ۲۲ مشاهده می شود، روش شبهوارون به ازای یکی از نقاط مطلوب نتوانسته است پیکربندی مناسب را جهت حداقل ساختن خطای مجری نهایی تعیین کند. دلیل این امر وابستگی روش مذکور به شرایط اولیه و عدم تضمین همگرایی متغیر مفاصل میباشد. در واقع، چنانچه به ازای شرایط وزنی خاصی روش قادر به ادامه حرکت خود نباشد، در همان وضعیت باقی مانده و ناچار باید الگوریتم را متوقف نموده و داده بعدی به آن اعمال شود. از طرفی، در این روش حتماً باید مفاصل بحرانی در هر لحظه تشخیص داده شده و متوقف شوند تا سایر مفاصل، جبرانسازی را انجام دهند. این مسئله عموماً منجر به ناپیوستگی در حرکت ربات می شود.

اگر چه ساختار روش شبهوارون، ساده بوده و از حجم محاسباتی بالایی برخوردار نیست، اما درصورت بروز چنین مشکلی، زمان آن بسیار افزایش می یابد. زیرا باید بعد از تعداد تکرارهای مشخصی، الگوریتم را متوقف نموده و نقطه بعدى اعمال شود.

زمان کل محاسبات مسیر مذکور برابر ۲۸۶۹ ثانیه شدهاست. از طرفی، مشکل اساسی دیگر در روش مذکور وابستگی به تنظیم مناسب ضرایب وزنی است و از آنجایی که هیچ روش اصولی برای انتخاب مقادیر بهینه برای آنها وجود ندارد، در روش شبهوارون ژاکوبی تضمینی وجود ندارد که به ازای انتخاب مقادیر خاصی برای ضرایب وزنی توابع هزینه، جواب مناسب برای تمام نقاط مسیر مطلوب بدست آید. حال همین مسیر به ساختار پیشنهادی در این مقاله اعمال میشود. شکل ۲۴ پیکربندی های ربات و خطای مجری نهایی را نشان می دهد. در روش پیشنهادی، تنها پارامتر قابل تنظیم، نرخ همگرایی η میباشد که برابر \cdot . درنظر گرفته شدهاست. همانطور که مشاهده می شود، پیکربندی های ربات به طوری که خطای مجری نهایی به حداقل مقدار مطلوب تنزل پیدا-كند، تعيين شدهاند.

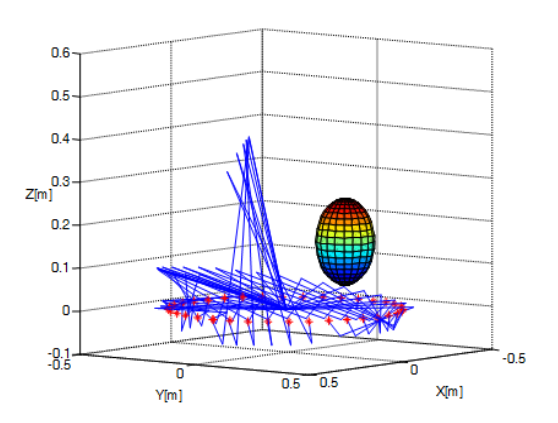


شکل ۲۲: پیکربندی های ربات با استفاده از روش شبهوارون ژاکوبی

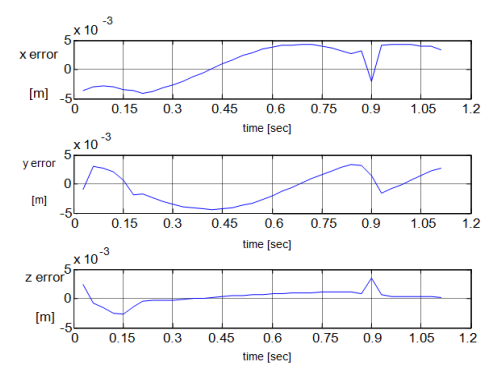


شکل ۲۳: خطای ردیابی مجری نهایی با استفاده از روش شبهوارون ژاکوبی

1.25 2.25



شکل ۲۴: پیکربندی های ربات با استفاده از روش پیشنهادی



شکل ۲۵: خطای ردیابی مجری نهایی با استفاده از روش پیشنهادی

در این روش، مشکلاتی چون حساسیت به شرایط اولیه، گرفتاری در خطاهای محلی و عدم برقراری شرایط مناسب همگرایی وجود ندارد. از طرفی، هرگز نیاز به متوقف نمودن مفاصل بحرانی نبوده و ساختار پیشنهادی بدون نیاز به تنظیم هیچ گونه ضرایب وزنی، با حداقل تنظیمات ممکن به حل مسئله می پردازد و لذا، درجه سعی و خطا در آن حداقل می باشد. زمان اجرای محاسبات برابر ۱.۱۱۵۱ ثانیه می باشد و برای کاربردهای بی درنگ و سریع مناسب می باشد.

۸- نتیجه گیری

در این مقاله، از ترکیب شبکه عصبی، روش برنامه ریزی مرتبه دو و سیستم فازی برای تعیین جواب سینماتیک وارون ربات بازوی هفت درجه آزادی افزونه و تحت محدودیتهای موقعیت مفاصل و مانع در فضای کاری ربات استفاده شدهاست. در روش پیشنهادی، شبکه عصبی با استفاده از فرایند بهینه سازی خطی و بی درنگ در فضای دکارتی و بهره-گیری از ساختاری بسیار ساده، متغیر مطلوب مفاصل را تعیین نمودهاست. روش برنامهریزی مرتبه دو نیز با تطبیق مناسب وزنهای شبکه، وظیفه برآورده نمودن قیود مسئله را برعهده داشته است. سیستم فازی بر مبنای دو معیار مجاورت مجری نهایی تا نقطه هدف و امکان پذیری جواب، وزن-های اولیه شبکه عصبی را با هدف کاهش زمان اجرای محاسبات متناظر با نخستین نقطه از مسیر مطلوب تعیین نموده است. برنامه اجتناب از مانع با تعیین بحرانی ترین بازو در هر مرحله از اجرای الگوریتم صورت گرفته و این مسئله تعداد قیود بازوی درگیر در هر شبکه را به حداقل رساندهاست. الگوریتم پیشنهادی بدون نیاز به تعریف هیچ گونه تابع هزینه و تنظیم ضرایب وزنی، مسئله را حل نموده و با توجه به فرایند یادگیری داده به داده، برای محیطهای دینامیکی مطلوب میباشد. حل مسئله در سطح موقعیت صورت گرفته و هیچ گونه نیازی به اطلاعات صریح مدل ربات نمى باشد. لذا، روش ارائه شده از قابليت تعميم پذيرى بالايي برخوردار بوده و قادر به مواجهه با هرگونه قید مرتبط با مسئله سینماتیک وارون

مراجع

- [1] V. Perdereau, "Real-time control of redundant robotic manipulators for mobile obstacle avoidance," *Robotics and Autonomous Systems*, vol. 41, no. 1, pp. 41-59, 2002.
- [2] M. Benzaoui, "Redundant robot manipulator control with obstacle avoidance using extended jacobian method," *18th Mediterranean Conference in Control & Automation (MED), Morocco, Marrkech*, pp. 371-376, 2010.
- [3] J. Wang, Y. Lee and X Zhao, "Inverse kinematics and control of a 7-DOF redundant manipulator based on the closed-loop algorithm," *Advanced Robotic Systems*, vol. 7, no. 4, pp. 1-10, 2011.
- [4] G. Antonelli, "A new on-line algorithm for inverse kinematics of robot manipulators ensuring path tracking capability under joint limits," *IEEE Transactions on Robotics and Automation*, vol. 19, no. 1, pp. 162-167, 2003.
- [5] C. W. Wampler, "Manipulator inverse kinematic solutions based on vector formulations and damped least-squares

- [13] T. Bhattacharjee and A. Bhattacharjee, "A study of neural network based inverse kinematics solution for a planar three joint robot with obstacle avoidance," *Assam University Journal of Science and Technology*, vol. 5, no.2, pp. 1-7, 2010.
- [14] S. S. Chiddarwar and N. Ramesh Babu, "Comparison of RBF and MLP neural networks to solve inverse kinematic problem for 6R serial robot by a fusion approach," *Engineering Applications of Artificial Intelligence*, vol. 23, no. 7, pp. 1083-1092, 2010.
- [15] S. Kumar, N. Patel and L. Behera, "Visual motor control of a 7 DOF robot manipulator using function decomposition and subclustering in configuration space," *Neural Processing Letters*, vol. 28, no. 1, pp. 17-33, 2008.
- [16] Y. Xia and J. Wang, "A dual neural network for kinematic control of redundant robot manipulators," *IEEE Transactions on Systems, Man, and Cybernetics, Part B: Cybernetics*, vol. 31, no. 1, pp. 147-154, 2001.
- [17] Y. Zhang, J. Wang and Y. Xu, "A dual neural network for bi-criteria kinematic control of redundant manipulators," *IEEE Transactions on Robotics and Automation*, vol. 18, no. 6, pp. 923-931, 2002.
- [18] Y. Zhang and J. Wang, "Obstacle avoidance for kinematically redundant manipulators using a dual neural network," *IEEE Transactions on Systems, Man, and Cybernetics, Part B: Cybernetics*, vol. 34, no. 1, pp. 752-759, 2004.
- [19] A. Jasbir, *Introduction to Optimum Design*, Second Edition, Elsevier Academic Press, San Diego, 2004.
- [20] L. X. Wang, A Course in Fuzzy Systems and Control, Prentice Hall, New Jercy, 1996.

- methods," *IEEE Transactions on Systems, Man and Cybernetics*, vol. 16, no. 1, pp. 93-101, 1986.
- [6] L. Phuoc, et al., "Damped least square based genetic algorithm with Ggaussian distribution of damping factor for singularity-robust inverse kinematics," *Journal of Mechanical Science and Technology*, vol. 22, no. 7, pp. 1330-1338, 2008.
- [7] A. Goldenberg, et al., "A complete generalized solution to the inverse kinematics of robots," *IEEE Journal of Robotics and Automation*, vol. 1, no. 1, pp. 14-20, 1985.
- [8] S. Sasaki., "Feasibility study of manipulator inverse kinematics problems with applications of optimization principles," *Mechanism and machine theory*, vol. 28, no. 5, pp. 685-697 1993.
- [9] G. S. Chirikjian and J. W. Burdick, "A modal approach to hyper-redundant manipulator kinematics," *IEEE Transactions on Robotics* and Automation, vol. 10, no. 3, pp. 343-354, 1994.
- [10] J. M. Ahuactzin and K. Gupta, "A motion planning based approach for inverse kinematics of redundant robots: the kinematic roadmap," *Expert Systems with Applications*, vol. 14, no. 1-2, pp. 159-167, 1998.
- [11] A. Aristidou and J. Lasenby, "FABRIK: A fast, iterative solver for the Inverse Kinematics problem," *Graphical Models*, vol. 73, no. 5, pp. 243-260, 2011.
- [12] S. Yahya, M. Moghavvemi and H. Mohamed, "Geometrical approach of planar hyperredundant manipulators: Inverse kinematics, path planning and workspace," *Simulation Modelling Practice and Theory*, vol. 19, no.1, pp. 406-422, 2011.